

miR-640 通过抑制 SLIT1 介导 Wnt/β-catenin 通路促进脑胶质瘤对替莫唑胺的耐药

陈 静, 董善武, 陈咏丽, 陈海珊, 蒋 姝, 陈 澄, 罗 超

(武汉市第四医院, 湖北 武汉 430000)

摘要: [目的] 评价 miR-640 介导 Wnt/β-catenin 通路对脑胶质瘤耐药细胞增殖、侵袭及替莫唑胺 (temazolamide, TMZ) 敏感性的影响。[方法] 利用实时荧光定量聚合酶链反应 (RT-qPCR) 测定脑胶质瘤细胞内 miR-640 的表达。U87/TMZ 细胞分为 NC inhibitor 组、miR-640 inhibitor 组和 miR-640 inhibitor+si-SLIT1 组。用不同浓度 (15, 30, 60, 120, 240, 480 和 960 μmol/L) TMZ 处理细胞, 检测细胞对 TMZ 的耐药性; 运用细胞计数试剂盒 8 (CCK-8)、Transwell 实验检测 U87/TMZ 细胞增殖活力和侵袭力; 用双荧光素酶报告基因实验验证 miR-640 与 SLIT1 的靶向关系。采用 Western blot 检测 Wnt/β-Catenin 信号通路相关蛋白表达水平。[结果] miR-640 在脑胶质瘤细胞中高表达, 转染后 miR-640 inhibitor 组的 miR-640 表达水平、侵袭细胞数目 (57 ± 23 vs 153 ± 31)、IC₅₀ 值 (131.61 ± 8.97 vs 293.33 ± 11.28)、增殖率 (18.48 ± 4.23 vs 43.84 ± 8.94) 均比 NC inhibitor 组低 ($P < 0.05$)。miR-640 靶向调控 SLIT1 的表达, miR-640 inhibitor+si-SLIT1 组 β-catenin、c-myc、Cyclin D1 蛋白表达水平平均高于 miR-640 inhibitor 组 ($P < 0.05$)。[结论] miR-640 通过 SLIT1 介导 Wnt/β-catenin 通路促进脑胶质瘤增殖、侵袭及对替莫唑胺的耐药性。

主题词: 脑胶质瘤; 替莫唑胺; miR-640; Wnt/β-catenin 通路

中图分类号: R739.41 **文献标识码:** A **文章编号:** 1671-170X(2022)07-0568-06

doi: 10.11735/j.issn.1671-170X.2022.07.B007

miR-640 Promote Proliferation, Invasion and Resistance to Temozolomide in Glioma by Inhibiting SLIT1-mediated Wnt/β-catenin Pathway

CHEN Jing, DONG Shan-wu, CHEN Yong-li, CHEN Hai-shan, JIANG Shu, CHEN Cheng, LUO Chao

(Wuhan No.4 Hospital, Wuhan 430000, China)

Abstract: [Objective] To investigate the effects of miR-640-mediated Wnt/β-catenin pathway on proliferation, invasion and sensitivity to temazolamide(TMZ) in glioma cells. [Methods] The expression of miR-640 in glioma cells as determined by real-time fluorescence quantitative polymerase chain reaction(RT-qPCR). TMZ-resistant human glioma U87/TMZ cells were transfected with NC inhibitor, miR-640 inhibitor and miR-640 inhibitor+ si-SLIT1, respectively. U87/TMZ cells were treated with TMZ (15, 30, 60, 120, 240, 480 and 960 μmol/L) . Cell counting Kit 8(CCK-8) and Transwell assay were used to detect the proliferation and invasion of U87/TMZ cells. Dual luciferase reporter gene assay was used to verify the targeting relationship between miR-640 and SLIT1. Western blot was used to detect the expression levels of Wnt/β-catenin signalling pathway related proteins. [Results] miR-640 was highly expressed in glioma cells. The miR-640 expression level, number of invaded cells(57 ± 23 vs 153 ± 31), IC₅₀ value(131.61 ± 8.97 vs 293.33 ± 11.28) and proliferation rate(18.48 ± 4.23 vs 43.84 ± 8.94) in miR-640 inhibitor group were significantly lower than those in NC inhibitor group($P < 0.05$). The miR-640 specifically regulated the expression of SLIT1, and the protein expression levels of β-catenin, c-myc and Cyclin D1 in miR-640 inhibitor+ si-SLIT1 group were higher than those in miR-640 inhibitor group ($P < 0.05$). [Conclusion] miR-640 may promote glioma proliferation, invasion and resistance to TMZ through SLIT1-mediated Wnt/β-catenin pathway.

Subject words: glioma; temozolomide; miR-640; Wnt/β-catenin pathway

脑胶质瘤起源于脑神经胶质细胞, 恶性程度高,

治疗复杂且预后差^[1]。尽管有积极的综合治疗, 但恶性脑胶质瘤患者的中位总生存期(overall survival, OS)仍约为 12~15 个月^[2]。替莫唑胺 (temazolamide, TMZ) 是胶质瘤化疗中最常用的烷化剂, 然而, TMZ 的耐药

基金项目: 武汉市卫健委科研项目(WX21C05)
通信作者: 罗超, E-mail: light02059@126.com
收稿日期: 2021-12-29; 修回日期: 2022-05-19

性是临床医生的一个主要挑战^[3]。最近的证据强调了微小RNA (miRNA)在肿瘤生物学中的关键调控作用,包括癌症的化疗耐药性。研究报道,miRNA 在胶质母细胞瘤的异常生物学过程中作为癌基因或抑癌基因^[4-6]。近期研究报道 miR-640 与多种癌症的发生发展密切相关。miR-640 抑制乳腺癌的增殖和迁移^[7],且与浆液性卵巢癌紫杉醇耐药相关^[8];但关于 miR-640 表达对脑胶质瘤耐药的影响尚未明确。本研究通过检测 miR-640 在脑胶质瘤耐药细胞中的表达,观察抑制 miR-640 对脑胶质瘤耐药细胞增殖和 TMZ 敏感性的影响,并进一步探讨对 Wnt/β-catenin 信号通路的作用,为胶质瘤耐药分子靶向治疗提供参考依据。

1 材料与方法

1.1 细胞与试剂

胶质瘤细胞系 U87、U251、A172 和正常细胞系 HA 购自于 ATCC。DMEM 高糖细胞培养基、FBS 和链霉素-青霉素双抗均购自于美国 Gibco 公司; Lipofectamine2000 转染试剂和 Trizol 购自于美国 Invitrogen 公司;蛋白提取试剂盒、细胞计数试剂盒 8 (CCK-8)、BCA 蛋白浓度测定试剂盒、Western blot Kit 高灵敏度化学发光检测试剂盒购自于上海碧云天生物技术有限公司。NC inhibitor、miR-640 inhibitor、NC mimic、miR-640 mimic、si-SLIT1 均购自广州锐博,SLIT1 蛋白 siRNA 序列: 正义链 5'-GCCUGAUGCUGAGGAACAAATT-3', 反义链 3'-UUGUUCCUCAGCAUCAGGCTT-5'; 甘油醛-3-磷酸脱氢酶 (GAPDH)、β-catenin、c-myc、Cyclin D1、SLIT1 抗体购自于美国 Abcam 公司; Dual-Glo 荧光素酶测定系统购自美国 Promega 公司, 实时荧光定量聚合酶链反应(RT-qPCR)试剂盒购自大连 Takara 公司。

1.2 实验方法

1.2.1 细胞培养

将人脑胶质瘤细胞系 U87、U251、A172 和正常细胞系 HA 培养于 10% 胎牛血清、100 U/mL 青霉素/链霉素的 DMEM 培养液中,培养条件 37 °C、5% CO₂ 培养箱。

1.2.2 U87/TMZ 耐药细胞培养及转染

采用胰酶消化处于对数生长期的人脑胶质瘤 U87 细胞系,处理后加

入 10% 胎牛血清的 DMEM 培养液,置于 37 °C、5% CO₂ 细胞培养箱中,待细胞贴壁后,加入 15 μmol/L 诱导剂量的 TMZ,稳定传代 3 次后,药物浓度逐渐递增,分别为 30、60、120、240、480 μmol/L TMZ 溶液处理细胞,待细胞稳定传代后使用下一个筛选浓度,成功建立稳定生长的 U87/TMZ 耐药细胞系。

取对数生长期 U87/TMZ 细胞进行实验。接种于 6 孔板,当细胞汇合度达约 70% 时,应用 Lipofectin TM2000 进行转染,实验分组为:① NC inhibitor, ② miR-640 inhibitor, ③ miR-640 inhibitor+si-SLIT1 转染组。

1.2.3 RT-qPCR 检测基因表达

根据制造商的说明书,Trizol 法提取胶质瘤细胞总 RNA, 使用 TaqMan MicroRNA 逆转录试剂盒将总 RNA 进行逆转录, 使用 SYBR Green PCR Master Mix 进行 miR-640 RT-qPCR, 以 U6 基因作为内参 (Table 1)。另外取 10 ng RNA 模板使用第一链 cDNA 合成试剂盒(Promega),按照制造商的说明进行逆转录,逆转录得到 cDNA 后扩增目的基因,以 GAPDH 作为内参基因以确定 SLIT1 的表达。 $2^{-\Delta\Delta Ct}$ 法计算目的基因的表达变化倍数。

1.2.4 Transwell 检测细胞侵袭细胞

用涂基质凝胶的 Transwell 板测定细胞的侵袭性。转染 24 h 后,胰酶消化铺板,取 100 μL 无血清细胞悬液加入到 Transwell 小室中,在 37 °C、5% CO₂ 条件下孵育 24 h, 细胞侵入膜下表面。24 h 后,用 4% 多聚甲醛固定滤膜表面的细胞, 并用 1% 结晶紫染色。随机选取 10 倍镜视野, 计数细胞数。每组设 3 个复孔。

1.2.5 CCK8 法检测胶质瘤细胞的增殖能力

检测加 TMZ 后的细胞增殖曲线: 对数生长期细胞以每孔 5×10^3 个接种至 96 孔板, 37 °C、5% CO₂ 环境中孵育 24 h 后吸取上清, 加入一定浓度 TMZ 和 DMEM+10% FBS 混合液, TMZ 浓度梯度为 15、30、60、120、240、480 和 960 μmol/L, 每个浓度设 3 个复孔。处理 48 h 后, 每孔加入 100 μL 稀释后的 CCK8

Table 1 Primer sequence

Primer	Forward(5'-3')	Reverse(5'-3')
miR-640	ATGATCCAGGAACCTGCCTCT	
SLIT1	TGTGAAGCACGACTGTGTCA	TAGCCCTCAGCACAGAGACA
GAPDH	TGCTGGTGCTGAGTATGTCG	GCATGTCAGATCCACAAACGG
U6	CTCGCTTCGGCAGCACA	AACGCTTCACGAATTGCGT

溶液,37℃、5%CO₂环境孵育1 h。酶标仪检测450 nm OD值。按照细胞生存曲线计算细胞半抑制浓度(IC₅₀)。实验重复3次。

检测转染后细胞增殖曲线:胰酶消化后,将转染后的U87/TMZ细胞以5×10³/孔置于96孔板中,每组设3个复孔。在每个时间点(0、24、48、72 h)加入100 μL稀释的CCK-8溶液孵育1 h,酶标仪检测450 nm OD值。

1.2.6 双荧光素酶报告基因

在双荧光素酶报告基因实验中,构建相应的SLIT1野生型和突变型荧光素酶报告质粒,将SLIT1野生型和突变型荧光素酶报告质粒分别与miR-640 mimic和NC mimic共转染到HEK-293T细胞中。转染48 h后,收集并裂解细胞,使用双荧光素酶报告分析系统(Promega,美国)检测荧光素酶活性。

1.2.7 Western blot检测蛋白表达

采用IP细胞裂解缓冲液提取蛋白样品,BCA法定量分析。蛋白质经10%十二烷基硫酸钠-聚丙烯酰胺凝胶电泳分离,然后电转移到PVDF膜上,2 h后用5%脱脂牛奶封闭。洗涤后将膜与采购自Abcam的GAPDH、β-catenin、c-myc、Cyclin D1和SLIT1的一抗(1:1 000稀释)过夜孵育,洗涤后与二抗(1:5 000)温床孵育1.5 h。用TBST洗涤膜30 min后进行ECL显影,以GAPDH为内参,Image J软件分析靶向蛋白表达水平。

1.3 统计学处理

采用SPSS 22.0版软件进行数据分析。计量资料以均数±标准差($\bar{x} \pm s$)描述,两组间比较采用t检验,多组间比较采用方差分析。 $P < 0.05$ 为差异有统计学意义。

2 结果

2.1 miR-640在胶质瘤细胞中的表达

与人正常胶质细胞HA相比,胶质瘤细胞U87、U251、A172中miR-640表达显著性升高($t=17.84, 13.05, 32.34, P < 0.001$) (Figure 1)。miR-

640在U87细胞表达差异更明显,因此选取U87细胞用于后续实验。

2.2 miR-640在胶质瘤耐药细胞中高表达

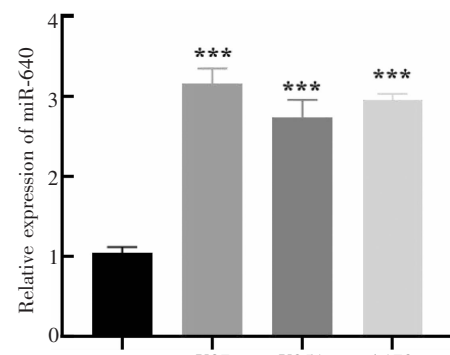
细胞活力随TMZ浓度的增加而降低,耐药U87/TMZ细胞的IC₅₀值高于正常U87细胞($t=30.92, P < 0.001$) (Figure 2A)。RT-qPCR结果显示,miR-640在U87/TMZ细胞中的表达显著性升高(Figure 2B),差异有统计学意义($t=9.002, P < 0.001$)。

2.3 miR-640促进U87/TMZ细胞侵袭力

转染miR-640 inhibitor至U87/TMZ细胞24 h后,RT-qPCR检测结果显示,miR-640 inhibitor组中miR-640表达量明显低于对照组(Table 2)。与对照组比较,miR-640 inhibitor组细胞侵袭数目显著性下降($P < 0.05$) (Figure 3, Table 2)。

2.4 转染miR-640 inhibitor对U87/TMZ细胞增殖及TMZ药物敏感性的影响

与对照组相比,下调miR-640组24、48、72 h细



Note: Compared with HA group, ***: $P < 0.001$

Figure 1 Expression of miR-640 in glioma tissue and cells

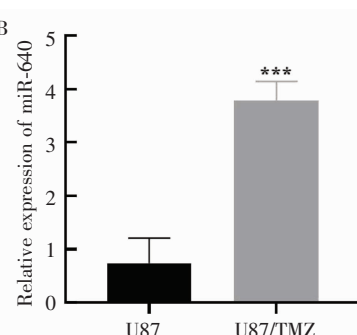
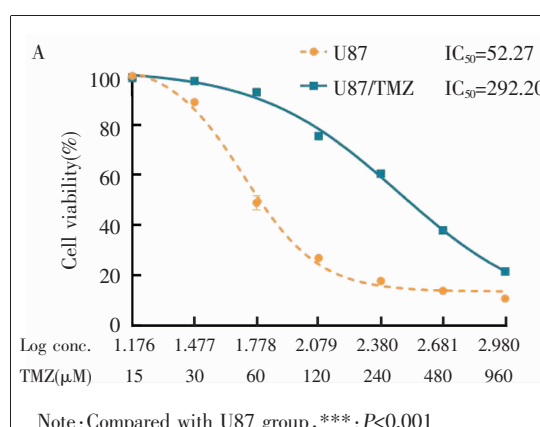


Figure 2 Expression of miR-640 in U87/TMZ cell

胞增殖率均显著性下降($P<0.05$) (Table 3)。

U87/TMZ 细胞转染 miR-640 inhibitor 后, NC inhibitor 和 miR-640 inhibitor 组的 IC_{50} 值分别为 293.33 ± 11.28 、 131.61 ± 8.97 , miR-640 inhibitor 组 IC_{50} 值显著性降低($t=19.44$, $P<0.01$) (Figure 4)。

2.5 SLIT1 在 U87/TMZ

细胞中高表达

与 U87 细胞相比, U87/TMZ 细胞中 SLIT1 的 mRNA、蛋白表达水平均显著性下调($t=11.07$ 、 10.55 , P 均 <0.001) (Figure 5)。

2.6 miR-640 靶向调控 SLIT1 的表达

通过 miRDB 软件预测 SLIT1 与 miR-640 的靶向结合位点示意图 (Figure 6)。与 NC mimic 与 WT-SLIT1 共转染相比, miR-640 mimic 与 WT-SLIT1 共转染后 293T 细胞的荧光活性显著性降低($P<0.05$); 而 miR-640 mimic 与 MUT-SLIT1 共转染、NC mimic 与 MUT-SLIT1 共转染后, 细胞荧光活性不受影响 (Table 4)。与 NC inhibitor 组相比, miR-640 inhibitor 组 SLIT1 mRNA 和蛋白表达水平均显著性上升($t=31.50$ 、 7.309 , P 均 <0.05) (Figure 7)。

2.7 miR-640 通过抑制 SLIT1 介导 Wnt/ β -catenin 通路促进脑胶质瘤对替莫唑胺的耐药

miR-640 inhibitor 组 U87/TMZ 细胞的 β -catenin、Cyclin D1、c-myc 表达水平低于 NC inhibitor 组 ($t=15.69$ 、 17.89 、 13.44 , P 均 <0.05)。miR-640 inhibitor+si-SLIT1 组 U87/TMZ 细胞的 β -catenin、cyclin D1、c-myc 表达水平高于 miR-640 inhibitor 组 ($t=9.712$ 、 12.70 、 11.57 , P 均 <0.05) (Figure 8)。

3 讨 论

脑胶质瘤的恶性预后涉及到癌基因的扩增和过表达、抑癌基因的缺失及信号通路的异常。miRNA 通常通过与靶 mRNA 翻译区(UTR)结合, 抑制靶基因的表达^[9]。研究表明 miRNA 在细胞增殖^[10]、凋亡^[11]、耐药^[12-13]等生物学过程中发挥着重要作用。miR-640

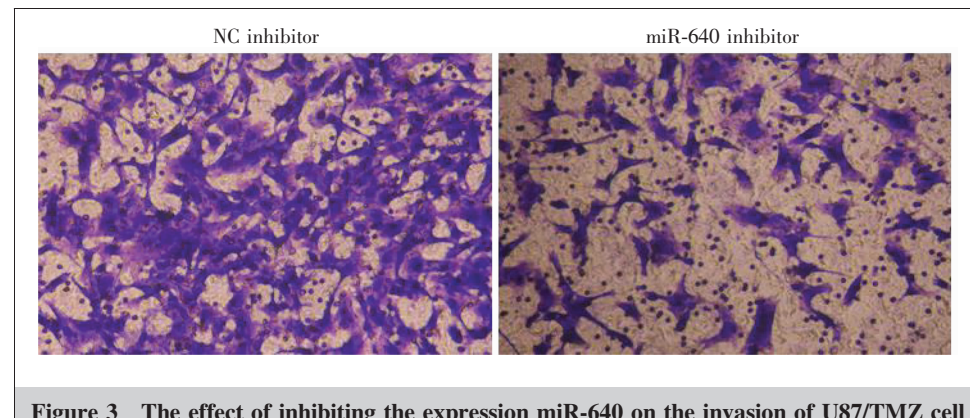


Figure 3 The effect of inhibiting the expression miR-640 on the invasion of U87/TMZ cell

Table 2 The effect of inhibiting the expression miR-640 on the invasion of U87/TMZ cell

Group	miR-640	Invasion cell number
NC inhibitor	1.02 ± 0.05	153 ± 31
miR-640 inhibitor	0.41 ± 0.03	57 ± 23
t	18.120	4.308
P	<0.001	0.0126

Table 3 Comparison of proliferation rate at different time

Group	Cell proliferation rate(%)		
	24 h	48 h	72 h
NC inhibitor	17.57 ± 3.42	28.45 ± 5.32	43.84 ± 8.94
miR-640 inhibitor	10.45 ± 2.42	15.39 ± 3.29	18.48 ± 4.23
t	2.944	3.616	5.317
P	0.0422	0.0224	0.006

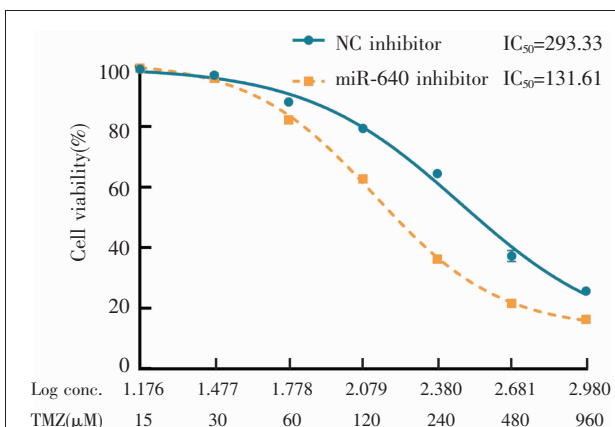


Figure 4 The effect of inhibiting the expression miR-640 on the IC_{50} value of U87/TMZ cell

在介导 H2S 促血管生成作用中发挥着关键作用^[14]。miR-640 可通过抑制 LRP1 和 Wnt 信号通路促进细胞炎症^[15]。此外, Li 等^[8]通过 miRNA 基因芯片发现 miR-640 与卵巢癌紫杉醇耐药密切相关。然而, 关于 miR-640 是否参与人脑胶瘤细胞 TMZ 耐药机制目

前较少相关报道。本研究运用 RT-qPCR 检测 miR-640 表达,发现其在脑神经胶质瘤细胞系中高表达。为了进一步明确 miR-640 与脑神经胶质瘤 TMZ 耐药之间的相关性,通过在 U87/TMZ 细胞中检测 miR-640 表达,发现其表达水平相对于 U87 细胞显著性增高,且沉默 U87/TMZ 细胞中 miR-640 表达能抑制细胞增殖和侵袭,U87/TMZ 细胞中 TMZ 的 IC₅₀ 值显著性降低,表明 miR-640 可能抑制人脑胶质瘤细胞对 TMZ 药物敏感性。

神经轴突导向因子 SLIT1 位于染色体 10q24.1 上,由 37 个外显子组成^[16]。Shuai 等^[17]发现 SLIT1 在结直肠癌中低表达,SUV39H2 通过 SLIT1 启动子的三甲基化促进结直肠癌增殖和转移。之前的研究多集中在 SLIT1 在调节神经系统轴突发育的功能研究。近年来研究表明 SLIT1 与血管生成和癌症进展存在相关性^[18]。本研究利用生物信息学数据库发现 miR-640 靶向 SLIT1,进一步通过双荧光素酶报告实验证实两者结合,并且抑制 miR-640 可降低 U87/TMZ 细胞中 SLIT1 mRNA 与蛋白的表达水平,提示在胶质瘤中高表达 miR-640 与低表达因子 SLIT1 呈负向调控。

Wnt 信号通路广泛存在于无脊椎动物和脊椎动物中,是一类在物种进化过程中高度保守的信号通路^[19],Wnt/β-catenin 信号通路在动物胚胎的早期发育、器官形成、

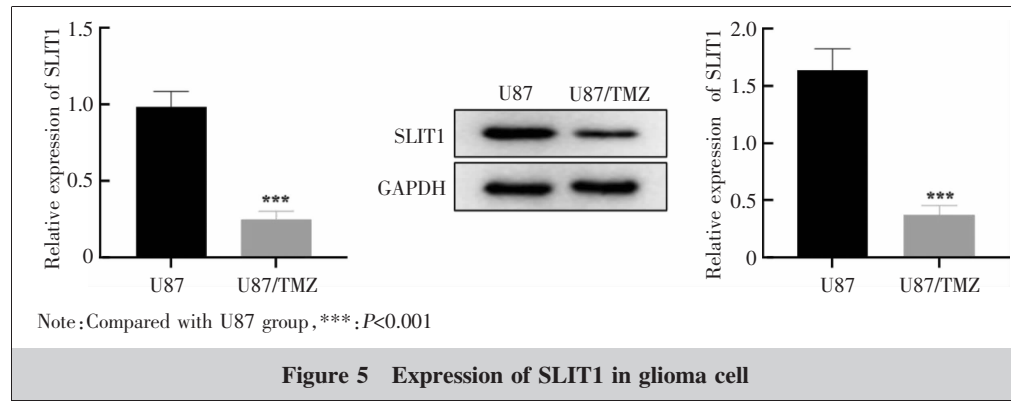


Figure 5 Expression of SLIT1 in glioma cell

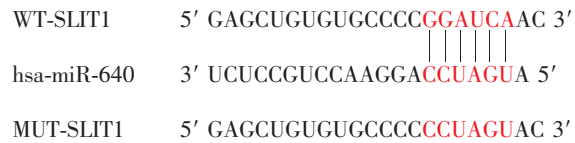
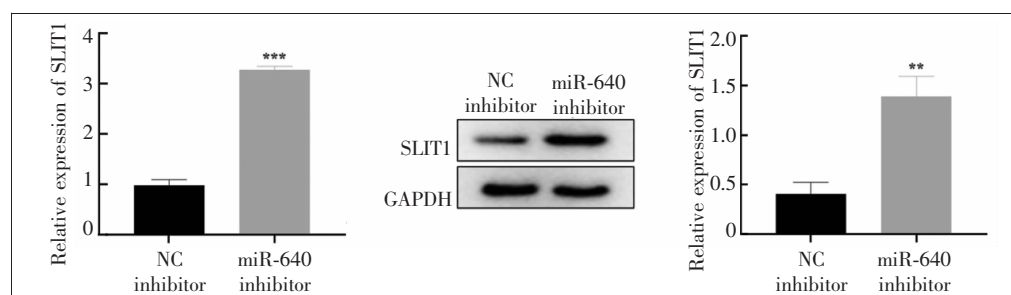


Figure 6 The 3'UTR of SLIT1 contains a nucleotide sequence complementary to miR-640

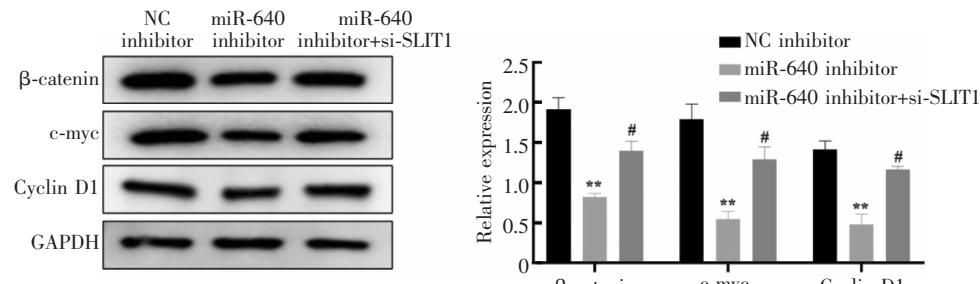
Table 4 Dual luciferase report experiment between SLIT1 and miR-640

Group	WT-SLIT1	MUT-SLIT1
NC mimic	0.90±0.04	0.91±0.08
miR-640 mimic	0.52±0.10	0.90±0.03
t	6.681	0.179
P	0.0052	0.9822



Note: Compared with NC inhibitor group, **: P<0.01, ***: P<0.001

Figure 7 Expression of SLIT1 after miR-640 inhibited in U87/TMZ cell



Note: **: Compared with NC inhibitor group, P<0.05; #: Compared with miR-640 inhibitor group, P<0.05

Figure 8 β-catenin, c-myc, Cyclin D1 protein expression

组织再生和其他生理过程中具有至关重要的作用,广泛参与肿瘤转移、耐药等多种机制^[20]。干扰 Gab2 表达可抑制 Wnt/β-catenin 信号通路标志蛋白 β-catenin 及下游靶基因 c-myc、Cyclin D1 蛋白表达,从而诱导细胞凋亡^[21]。对于脑胶质瘤细胞的放化疗抵抗,主要机制是由 O6-甲基鸟嘌呤-DNA 甲基转移酶(MGMT)所介导的 DNA 修复过程影响,而 Wnt/β-catenin 信号通路可以调控 MGMT 的表达。本研究检测干扰 miR-640 表达的 U87/TMZ 细胞中 β-catenin、c-myc、Cyclin D1 蛋白的表达发现,干扰 miR-640 表达可抑制 β-catenin、c-myc、Cyclin D1 蛋白的表达,揭示 miR-640 可能通过 SLIT1 介导 Wnt/β-catenin 信号通路促进脑胶质瘤对 TMZ 的耐药。

综上所述,miR-640 可促进胶质瘤耐药细胞增殖和侵袭,并提高胶质瘤细胞对 TMZ 的耐药性,其机制可能是通过 SLIT1 介导 Wnt/β-catenin 信号通路,为 miR-640 靶向治疗脑神经胶质瘤耐药提供参考依据。

参考文献:

- [1] Tang J,Yang L,Chen J,et al. Bortezomib inhibits growth and sensitizes glioma to temozolamide(TMZ) via down-regulating the FOXM1-Survivin axis [J]. Cancer Commun(London),2019,39(1):81.
- [2] Han B,Meng X,Wu P,et al. ATRX/EZH2 complex epigenetically regulates FADD/PARP1 axis,contributing to TMZ resistance in glioma[J]. Theranostics ,2020,10(7):3351–3365.
- [3] Xu X,Wang Z,Liu N,et al. Association between SOX9 and CA9 in glioma, and its effects on chemosensitivity to TMZ[J]. Int J Oncol,2018,53(1):189–202.
- [4] Xu Q,Chen X,Chen B. DCUN1D1MicroRNA-3148 inhibits glioma by decreasing and inhibiting the NF-κB pathway[J]. Exp Ther Med,2022,23(1):28.
- [5] Peng G,Liu Y,Yang C,et al. MicroRNA-25 promotes cell proliferation,migration and invasion in glioma by directly targeting cell adhesion molecule 2[J]. Exp Ther Med ,2022,23(1):16.
- [6] Li W,Liu J,Ji L,et al. MiR-674-5p suppresses the proliferation and migration of glioma cells by targeting Cul4b[J]. Neurochem Res,2022,47(3):679–691.
- [7] Tang C,Wang X,Ji C,et al. The role of mir-640:a potential suppressor in breast cancer Wnt7b/β-catenin signaling pathway[J]. Front Oncol,2021,11:645682.
- [8] Li X,Lu Y,Chen Y,et al. MicroRNA profile of paclitaxel-resistant serous ovarian carcinoma based on formalin-fixed paraffin-embedded samples[J]. BMC Cancer,2013,13:216.
- [9] Hayes J,Peruzzi PP,Lawler S. MicroRNAs in cancer: biomarkers ,functions and therapy[J]. Trends Mol Med ,2014,20(8):460–469.
- [10] Sampath S,Venkatabalasubramanian S,Ramalingam S. Role of micrornas in the progression and metastasis of colon cancer [J]. Endocr Metab Immune Disord Drug Targets ,2021,21(1):35–46.
- [11] Aggarwal T,Wadhwa R,Gupta R,et al. MicroRNAs as biomarker for breast cancer [J]. Endocr Metab Immune Disord Drug Targets ,2020,20(10):1597–1610.
- [12] Weidle U,Birzele F,Brinkmann U,et al. In vivo gastric cancer: identification of microRNAs inhibiting druggable targets and mediating efficacy in preclinical models [J]. Cancer Genomics Proteomics,2021,18(4):497–514.
- [13] Okamura S,Yoshino H,Kuroshima K,et al. EHHADH contributes to cisplatin resistance through regulation by tumor-suppressive microRNAs in bladder cancer[J]. BMC Cancer ,2021,21(1):48.
- [14] Zhou Y,Li XH,Zhang CC,et al. Hydrogen sulfide promotes angiogenesis by downregulating miR-640 via the VEGFR2/mTOR pathway[J]. Am J Physiol Cell Physiol ,2016,310(4):C305–C317.
- [15] Wang GX,Pan JY,Wang YJ,et al. MiR-640 inhibition alleviates acute liver injury via regulating WNT signaling pathway and LRP1[J]. Eur Rev Med Pharmacol Sci ,2020,24(17):8988–8996.
- [16] Tong M,Jun T,Nie Y,et al. The role of the Slit/Robo signaling pathway[J]. J Cancer,2019,10(12):2694–2705.
- [17] Shuai W,Wu J,Chen S,et al. SUV39H2 promotes colorectal cancer proliferation and metastasis via tri-methylation of the SLIT1 promoter[J]. Cancer Lett ,2018,422:56–69.
- [18] Koohini Z,Koohini Z,Teimourian S. Slit/Robo signaling pathway in cancer;a new stand point for cancer treatment [J]. Pathol Oncol Res ,2019,25(4):1285–1293.
- [19] Nusse R,Clevers H. Wnt/β-catenin signaling,disease, and emerging therapeutic modalities[J]. Cell ,2017 ,169(6):985–999.
- [20] Zhan T,Rindtorff N,Boutros M. Wnt signaling in cancer [J]. Oncogene ,2017,36(11):1461–1473.
- [21] 范亚峰,崔晓燕,虞中平,等. Gab2 基因在肺癌细胞表达及对癌细胞凋亡及 Wnt/β-catenin 信号通路的影响[J]. 肿瘤学杂志 ,2019, 25(3):213–217.
Fan YF,Cui XY,Yu ZP,et al. Expression of Gab2 binding protein 2 in lung cancer cells and its relation to apoptosis and Wnt/β-catenin signaling pathway[J]. Journal of Chinese Oncology ,2019,25(3):213–217.